

УДК 593.3

Н. А. Гук, канд. физ.-мат. наукДнепропетровский национальный университет им. О. Гончара,
(E-mail: nguk@farlep.dp.ua)**ИДЕНТИФИКАЦИЯ ПАРАМЕТРОВ ЗАДАЧИ ТЕРМОУПРУГОСТИ
ТОНКОСТЕННЫХ СИСТЕМ ПРИ НЕОДНОРОДНОМ
НАПРЯЖЕННО-ДЕФОРМИРОВАННОМ СОСТОЯНИИ**

Рассматривается метод и алгоритм идентификации физических и теплофизических параметров тонкостенных систем при неоднородном внешнем воздействии. Предлагается определять неизвестные характеристики материала из решения обратной задачи термоупругости с использованием различных способов аппроксимации параметров. Декомпозиция вектора параметров приводит к необходимости решения параллельных задач существенно меньшей размерности. Предложенный подход позволяет определять указанные параметры в условиях их существенной неоднородности.

Розглядається метод і алгоритм ідентифікації фізичних і теплофізичних параметрів тонкостінних систем при неоднорідній зовнішній дії. Пропонується визначати невідомі характеристики матеріалу з розв'язку оберненої задачі термопружності з використанням різних способів апроксимації параметрів. Декомпозиція вектора параметрів приводить до необхідності розв'язання паралельних задач істотно меншої розмірності. Запропонований підхід дозволяє визначати вказані параметри в умовах їх істотної неоднорідності.

Введение

При исследовании тепловых процессов в энергетике, металлургии и других областях техники часто возникает проблема идентификации внутренних параметров тепловых систем. Для идентификации характеристик материалов могут быть применены как экспериментальные методы [1, 2], так и теоретические, основанные на решении коэффициентных обратных задач механики деформируемого твердого тела [3–6].

Аппарат обратных задач, в соответствии с общей стратегией экстремальных методов, позволяет осуществлять идентификацию параметров в результате численного моделирования рассматриваемого процесса и поиска минимума функционала-невязки. Главной проблемой применения такого подхода является необходимость формулирования операторной связи между искомыми коэффициентами дифференциальных операторов и измеряемыми величинами.

В работе [4] получены явные выражения градиентов функционалов-невязок для широкого множества многокомпонентных распределенных систем различных параметров и параметров различных внешних воздействий, используемые в градиентных методах идентификации. Между тем, известные решения коэффициентных обратных задач [5, 6] включают, как правило, малое число определяемых параметров и базируются на решении стационарных задач теплопроводности при однородном нагреве. Однако известно, что диаграммы σ – ε , полученные при однородном и неоднородном нагружениях, существенно отличаются друг от друга. Можно предположить, что теплофизические и механические свойства материала в нестационарных неоднородных задачах являются не параметрами, а функциями температуры, что не позволяет определять их с помощью итерационных процессов [4] в силу их плохой обусловленности.

В настоящей работе предлагается подход, позволяющий идентифицировать изменение термомеханических и физических свойств материала в зависимости от температуры в

задачах термоупругости, когда поле температур существенно неоднородно по объему материала.

Постановка задачи

Пусть в трехмерной области $\Omega = \{X | X = (x_1, x_2, x_3) \in R^3, 0 \leq x_1 \leq a; 0 \leq x_2 \leq b; 0 \leq x_3 \leq h\}$ определена система термоупругого деформирования

$$\sigma_{ij,j}(\alpha(T), T, u_i) = F_i, \quad i, j = 1, 2, 3, \tag{1}$$

связь между компонентами тензора напряжений σ_{ij} и компонентами тензора деформаций ε_{ij} задается в таком виде:

$$\sigma_{ij}(\alpha(T), T, u_i) = 2\mu\varepsilon_{ij} + [\lambda\varepsilon_{kk} - (3\lambda + 2\mu)\alpha(T)(T - T_0)]\delta_{ij},$$

$$\varepsilon_{kk} = \frac{\sigma_{kk}}{3k} + 3\alpha(T)(T - T_0), \quad \lambda = \frac{\nu E(T)}{(1 + \nu)(1 - 2\nu)}, \quad \mu = \frac{E(T)}{2(1 + \nu)}, \quad k = \lambda + \frac{2}{3}\mu, \tag{2}$$

а связь между деформациями ε_{ij} и перемещениями

$$\varepsilon_{ij} = \frac{1}{2}(u_{i,j} + u_{j,i}),$$

здесь F_i, u_i – проекции внешних сил и перемещений на оси Ox_i ; $\alpha(T)$ – коэффициент температурного расширения; λ, μ – коэффициенты Ляме; k – модуль объемного расширения; ν – коэффициент Пуассона; $E(T)$ – модуль Юнга; T, T_0 – конечная и начальная температура тела.

В области Ω изменение температуры T удовлетворяет уравнению

$$(\lambda_T(T)T_{,i})_i + q = C(T)\dot{T}, \tag{3}$$

где $\lambda_T(T)$ – коэффициент теплопроводности; q – мощность теплового источника; $C(T)$ – удельная теплоемкость.

В начальный момент тело не нагрето и не деформировано. На поверхностях $x_1 = 0$ и $x_1 = a$ заданы условия закрепления. На поверхностях $x_3 = 0$ и $x_3 = h$ сформулированы граничные условия 2-го и 3-го рода

$$\left. \frac{\partial T(x_1, x_2, t)}{\partial x_3} \right|_{x_3=0} = 0, \quad \lambda_T(T) \left. \frac{\partial T(\bar{\Omega}, t)}{\partial x_3} \right|_{x_3=h} = q(t), \tag{4}$$

где $\bar{\Omega}$ – область воздействия теплового потока.

Будем предполагать, что тело нагрето настолько, что физические $E(T)$ и теплофизические характеристики материала $\alpha(T), \lambda_T(T), C(T)$ изменяются существенно, но при этом процесс деформирования остается упругим.

Считаем, что на поверхности $x_3 = 0$ в точках $X_n, n = 1, 2, \dots, N$ известны (измеряются) значения нормальных перемещений и температур

$$u_3(X_n) = u_3^*, \tag{5}$$

$$T(X_n) = T^*. \tag{6}$$

Решение обратной задачи предполагает восстановление вектор-функции параметров $H = \{E(T), \alpha(T), \lambda_T(T), C(T)\}$, компонентами которого являются функции, характеризующие физические и теплофизические характеристики материала по известным следам (5), (6) решения прямой задачи.

Функционал-невязка будет иметь вид аналогично [4]

$$J = \sum_{n=1}^N (u_3(X_n, H) - u_3^*(X_n))^2 + \sum_{n=1}^N (T(X_n, H) - T^*(X_n))^2. \tag{7}$$

Метод решения

Для определения компонент вектора нормальных перемещений $u_3(X_n, H)$ и температур $T(X_n, H)$ необходимо построить решение прямой задачи (1)–(4). Совместно с заданными

(измеренными) векторами $u_3^*(X_n)$, $T^*(X_n)$ это позволяет сформировать вектора невязок $\varepsilon(u_{3n}, H) = (u_3(X_n, H) - u_3^*(X_n))$, $\varepsilon(T_n, H) = (T(X_n, H) - T^*(X_n))$, необходимые для формирования функционала-невязки (7).

Параметризация всех неизвестных функций задачи осуществляется путем их аппроксимации с помощью метода конечных элементов (МКЭ).

Для построения системы уравнений МКЭ выполняется дискретизация области Ω следующим образом:

- для решения прямой задачи вводится сетка с координатами узлов X_s , где $X_s = \{x_{1s}, x_{2s}, x_{3s}\}$, $s = 1, 2, \dots, S$ и соответствующими узловыми значениями функции u_{i_s} в виде вектора $U(X_s) = \{u_{i_s}\}$;
- для представления условия (7) в дискретной форме вводится сетка с координатами узлов X_n , где $X_n = \{x_{1n}, x_{2n}, x_{3n}\}$, $n = 1, 2, \dots, N$, все X_n из числа X_s , и заданными значениями функций $u_3(X_n) = \{u_{3n}^*\}$, $T(X_n) = \{T_n^*\}$;

При численном решении сведение поиска неизвестных функциональных зависимостей $E(T)$, $\alpha(T)$, $\lambda_T(T)$, $C(T)$ к конечномерной постановке осуществляется путем их параметризации. Так, для построения решения обратной задачи вводится сетка с координатами узлов X_k , где $X_k = \{x_{1k}, x_{2k}, x_{3k}\}$, на которой неизвестные функции $\{E(T), \alpha(T), \lambda_T(T), C(T)\}$ аппроксимируются таким образом, что вектор неизвестных параметров обратной задачи состоит из значений в узловых точках $H = \{E_1, \alpha_1, \lambda_{T1}, C_1, \dots, E_k, \alpha_k, \lambda_{Tk}, C_k\}$, $k = 1, 2, \dots, K$.

Рассматриваемая система представляется в виде ансамбля четырехузловых конечных элементов. Учитывая линейный закон изменения перемещений u_1 и u_2 по толщине, неизвестные функции на элементе e задаются для локальной системы координат (μ, η, ϑ) при помощи аппроксимаций вида

$$u_1(\mu, \eta, \vartheta) = u_{10} \pm \vartheta \frac{\partial u_3(\mu, \eta)}{\partial \mu}, \quad u_2(\mu, \eta, \vartheta) = u_{20} \pm \vartheta \frac{\partial u_3(\mu, \eta)}{\partial \eta}, \quad u_3(\mu, \eta, \vartheta) = u_3(\mu, \eta),$$

$$u_3^e = B^e(\mu, \eta)u_3, \quad T^{(e)} = B^{(e)}(\mu, \eta) \cdot T, \quad \dot{T}^{(e)} = B^{(e)}(\mu, \eta) \cdot \dot{T},$$

где u_{10} , u_{20} – перемещения координатной поверхности $\vartheta = 0$; $u_3^T = \{u_{3r}\} = \left\{ u_3, \frac{\partial u_3}{\partial \mu}, \frac{\partial u_3}{\partial \eta} \right\}$,

$T = \{T_r\}$ – векторы значений функций в узлах; $B^e(\mu, \eta)$ – функции формы.

После выполнения соответствующей процедуры интегрирования и суммирования матриц элементов получаем систему уравнений в виде

$$K_U(H)U = R_T \tag{8}$$

$$C_T(H)\dot{T} + K_T(H)T = Q; \tag{9}$$

где $U^T = \{U_r\}$ – вектор узловых перемещений; Q – вектор теплового воздействия; T – вектор, учитывающий механическое и температурное нагружение;

$$K_U(H) = \sum_e \int_{\Omega^{(e)}} D^{(e)T} C^{(e)}(H) D^{(e)} d\Omega^{(e)}, \quad C_T(H) = \sum_e \int_{\Omega^{(e)}} D^{(e)T} C_T^{(e)}(H) D^{(e)} d\Omega^{(e)},$$

$K_T = \sum_e \int_{\Omega^{(e)}} D^{(e)T} k^{(e)}(H) D^{(e)} d\Omega^{(e)}$ – матрицы жесткости, теплоемкости, теплопроводности

конструкции; $C^{(e)}(H)$, $C_T^{(e)}(H)$, $k^{(e)}(H)$ – матрицы упругости, коэффициентов теплоемкости, коэффициентов теплопроводности соответственно для всего ансамбля элементов; $D^{(e)T}$ – матрица функций формы.

В результате решения системы уравнений (8), (9) получаем векторы перемещений и температур $u_3(X_n, H)$, $T(X_n, H)$, которые вместе с заданными векторами $u_3^*(X)$, $T^*(X_n)$ позволяют сформировать функционал-невязку (7).

Для выполнения численной минимизации функционала (7) будем использовать метод Ньютона–Аффсона, тогда итерационный процесс отыскания вектора параметров будет иметь вид

$$H^{k+1} = H^k - h_k (J''(H^k))^{-1} J'(H^k), \quad (10)$$

где $J''(H^k)$ – гессиан функционала J в точке H^k ; $J'(H^k)$ – градиент функционала J в точке H^k ; h_k – величина шага, которую можно регулировать.

Компоненты градиента и гессиана функционала можно представить следующим образом:

$$J'(H^k) = \frac{\partial J(H^k)}{\partial H_j} = 2 \sum_{n=1}^N \left\{ \frac{\partial \varepsilon_n(H^k)}{\partial H_j} \right\} \varepsilon_n(H^k),$$

$$J''(H^k) = 2 \sum_{n=1}^N \left\{ \frac{\partial \varepsilon_n(H^k)}{\partial H_j} \right\}^T \left\{ \frac{\partial \varepsilon_n(H^k)}{\partial H_p} \right\} - 2 \sum_{i=1}^N \left\{ \frac{\partial^2 \varepsilon_n(H^k)}{\partial H_j \partial H_p} \right\} \varepsilon_n(H^k).$$

Линеаризуя функцию $\varepsilon_n(H^k)$ в окрестности текущего значения вектора параметров H^k в виде $\tilde{\varepsilon}_n(H) = \varepsilon_n(H^k) + \sum_{j=1}^M \left\{ \frac{\partial \varepsilon_n(H^k)}{\partial H_j} \right\}^T \Big|_{H=H^k} (H_j - H_j^k)$ и сделав замену ее в гессиане на ли-

неаризованную, получим, что второе слагаемое можно положить равным 0. Вводя матричные обозначения, из (10) имеем разрешающее уравнение для определения вектора H^k неизвестных параметров задачи

$$R(H^k) \Delta H^k = -G(H^k) \varepsilon(H^k), \quad (11)$$

где $R(H^k) = \left\{ \frac{\partial \varepsilon_n(H^k)}{\partial H_j} \right\}^T \left\{ \frac{\partial \varepsilon_n(H^k)}{\partial H_j} \right\}$; $G(H^k) = \left\{ \frac{\partial \varepsilon_n(H^k)}{\partial H_j} \right\}^T$, $n = 1, 2, \dots, N, j = 1, 2, \dots, M$.

Введем предположение о существовании наиболее информативных компонент $\Delta H^1 = \{\Delta H_j^1\}$, $j = 1, 2, \dots, M_1$, $M_1 < M$ вектора параметров $\Delta H = \{\Delta H_j\}$, $j = 1, 2, \dots, M$, таких, что выполняется условие $\|\Delta H - \Delta H^1\|^2 \rightarrow \min$, и норма определяется $\|\Delta H - \Delta H^1\| = \sqrt{|\Delta H_1 - \Delta H_1^1|^2 + \dots + |\Delta H_M - \Delta H_M^1|^2}$.

Тогда неизвестный вектор приращений параметров $\Delta H = \{\Delta H_j\}_{j=1, M}$ можно представить в виде двух независимых вектора ΔH^1 и ΔH^2 , имеющих размерности M_1 и M_2 соответственно ($M_1 + M_2 = M$).

Зададим функции принадлежности u_j^p ($j = 1, 2, \dots, M, p = 1, 2$) компонент вектора ΔH векторам ΔH^1 и ΔH^2 в виде

$$u_{r_1}^1(X) = \delta(X - X_{r_1}); \quad r_1 \in I^1, \quad I^1 = \{r_{p_1}, \dots, r_{p_{M_1}}\};$$

$$u_{r_2}^2(X) = \delta(X - X_{r_2}); \quad r_2 \in I^2, \quad I^2 = \{r_{k_1}, \dots, r_{k_{M_2}}\}; \quad (12)$$

$$I^1 \cap I^2 = \emptyset,$$

где $\delta(X - X_{r_p})$ – функция Дирака; M_1 – заданное число ненулевых компонент вектора ΔH^1 .

Используя функции (12), сформируем матрицы

$$[D]_{M \times M} = \text{diag} \{ \delta(X - X_r) \}; \quad r = 1, 2, \dots, M; \quad [D_1]_{M \times M} = \text{diag} \{ u_{r_1}^1 \}; \quad [D_2]_{M \times M} = [D] - [D_1],$$

тогда ΔH^1 и ΔH^2 можно представить в виде

$$\Delta \tilde{H}^1 = \int_{\Omega} D_1 \Delta H d\Omega, \quad \Delta \tilde{H}^2 = \int_{\Omega} D_2 \Delta H d\Omega$$

или в векторной форме

$$\Delta\tilde{H}^1 = \begin{bmatrix} \Delta H^1 \\ 0 \end{bmatrix}_{M \times 1}; \quad \Delta\tilde{H}^2 = \begin{bmatrix} 0 \\ \Delta H^2 \end{bmatrix}_{M \times 1}; \quad [\Delta\tilde{H}^1] + [\Delta\tilde{H}^2] = [\Delta H]$$

где $[\Delta H^1]_{M_1 \times 1} = \{\Delta H_{j_1}, \dots, \Delta H_{j_{M_1}}\}^T$, $[\Delta H^2]_{M_2 \times 1} = \{\Delta H_{j_{M_1+1}}, \dots, \Delta H_{j_M}\}^T$.

Векторы ΔH^1 и ΔH^2 будем определять независимо друг от друга в виде двух параллельных алгоритмов

$$\Delta H^{1(k)} = \int_{\Omega} Q_1(X) \sum_{n=1}^N \frac{\partial \varepsilon_n(H^k)}{\partial H_j} \varepsilon_n(H^k) d\Omega; \quad (13)$$

$$\Delta H^{2(k)} = \int_{\Omega} Q_2(X) \sum_{n=1}^N \frac{\partial \varepsilon_n(H^k)}{\partial H_j} \varepsilon_n(H^k) d\Omega, \quad (14)$$

где $Q_i(X) = [Q_{im} \cdot \delta(X), m = 1, M_i, n = 1, M]$, $i = 1, 2$ – матрицы, в которые входят искомые коэффициенты; (k) – индекс, характеризующий номер итерации процесса (11), в дальнейшем будет опущен.

На каждом шаге итерационного процесса функционал для условия $\|\Delta H - \Delta H^1\|^2 \rightarrow \min$ будет иметь вид

$$J_1(Q_1, Q_2) = \int_{\Omega} \left(\begin{bmatrix} Q_1 \\ Q_2 \end{bmatrix} \sum_{n=1}^N \frac{\partial \varepsilon_n(H^k)}{\partial H_j} \varepsilon_n(H^k) - \begin{bmatrix} Q_1 \\ 0 \end{bmatrix} \sum_{n=1}^N \frac{\partial \varepsilon_n^1(H^k)}{\partial H_j} \varepsilon_n^1(H^k) \right)^T \times \\ \times \left(\begin{bmatrix} Q_1 \\ Q_2 \end{bmatrix} \sum_{n=1}^N \frac{\partial \varepsilon_n(H^k)}{\partial H_j} \varepsilon_n(H^k) - \begin{bmatrix} Q_1 \\ 0 \end{bmatrix} \sum_{n=1}^N \frac{\partial \varepsilon_n^1(H^k)}{\partial H_j} \varepsilon_n^1(H^k) \right) d\Omega \rightarrow \min, \quad (15)$$

где $\varepsilon_n(H^k)$ – невязка, полученная при фиксированных значениях вектора параметров H^k ; $\varepsilon_n^1(H^k)$ – невязка, вычисленная для вектора параметров $H^k = H^1$, а интеграл рассматривается в смысле Т. Стилтеса.

Требуется найти вид оптимальных матриц Q_1, Q_2 , входящих в (13), (14) и обеспечивающих минимизацию функционала (15), при этом по аналогии с [7], необходимо выполнить условия несмещенности

$$Q_i R_i - [E]_{M_i \times M_i} = [0]_{M_i \times M_i} \quad (16)$$

и инвариантности оценивания

$$Q_i R_j = [0]_{M_i \times M_j}; \quad i \neq j; \quad i, j = 1, 2, \quad (17)$$

где $[E]$ и $[0]$ – единичная и нулевая матрицы соответствующей размерности; $R_i = [R_i]_{M \times M_i}$ – матрицы с ненулевыми элементами, образованные из матриц $[R]_{M \times M} [D_i]_{M \times M}$.

Эти условия присоединяются к функционалу (15) с использованием множителей Лагранжа

$$J_2(Q_1, Q_2, \bar{\Psi}) = J_1(Q_1, Q_2) + \int_{\Omega} \sum_i \bar{\psi}_i g_i d\Omega + \int_{\Omega} \sum_i \bar{\eta}_i f_i d\Omega, \quad (18)$$

где $\bar{\Psi}^T = \{\bar{\psi}_i\}$, $\bar{\eta}^T = \{\bar{\eta}_i\}$ – векторы множителей Лагранжа; $g_i = Q_i R_j, f_i = E_i - Q_i R_j; i \neq j; i \leftrightarrow j; i, j = 1, 2$.

Так как функции принадлежности компонент вектора ΔH векторам ΔH^i ($i = 1, 2$) u_m^i ограничены $0 \leq u_m^i \leq 1, m = 1, 2, \dots, M_i$ и множество U представляется в виде $U = \{u_m^1\} = \{(u_1^i, \dots, u_{M_i}^i) : 0 \leq u_m^i \leq 1, m = 1, 2, \dots, M_i\}$, то функция $L(u) = \sum_{m=1}^{M_i} J'_{2u_m}(u) u_m^i$ достигает своей нижней грани на U в точке $\bar{u}^i = \{\bar{u}_1^i, \dots, \bar{u}_{M_i}^i\}$, где

$$\bar{u}^i = \frac{1}{2} [1 - \text{sign}(\psi_{jm}^T R_i^T Q_{jm} - Q_{jm}^T R_j \eta_{jm})]. \quad (19)$$

Необходимые условия оптимальности для определения матриц Q_1, Q_2 , получим, дифференцируя (18) по аргументам $Q_{im}, \psi_{im}, \eta_{im}$

$$\begin{cases} \frac{\partial J_{2m}}{\partial Q_{im}} = 2PQ_{im} + R_j \psi_{im} - R_i \eta_{im} = [0]_{M \times 1} \\ \frac{\partial J_{2m}}{\partial \eta_{im}} = E_{im} - R_i^T Q_{im} = [0]_{M_i \times 1}, \\ \frac{\partial J_{2m}}{\partial \psi_{im}} = R_j^T Q_{im} = [0]_{M_j \times 1} \end{cases} \quad i, j = 1, 2, \quad (20)$$

где матрица P имеет размерность $M \times M$ и в качестве компонент содержит величины вида $(\sum_{n=1}^N \frac{\partial \varepsilon_n}{\partial H_j} \varepsilon_n - \sum_{n=1}^N \frac{\partial \varepsilon_n}{\partial H_j} \varepsilon_n^1)(\sum_{n=1}^N \frac{\partial \varepsilon_n}{\partial H_k} \varepsilon_n - \sum_{n=1}^N \frac{\partial \varepsilon_n}{\partial H_k} \varepsilon_n^1)$, расположенные в j -й строке, k -м столбце

($j = 1, 2, \dots, M_1$ и $k = 1, 2, \dots, M_1$) и величины вида $\sum_{n=1}^N \frac{\partial \varepsilon_n}{\partial H_j} \varepsilon_n \sum_{n=1}^N \frac{\partial \varepsilon_n}{\partial H_k} \varepsilon_n^1$, расположенные в j -й строке, k -м столбце ($j = 1, 2, \dots, M_1$ и $k = M_1 + 1, \dots, M; j = M_1 + 1, \dots, M$ и $k = 1, 2, \dots, M_1$).

Для сокращения записи дальнейших преобразований введем следующие обозначения: $Z_i = P^{-1}R_i$; $Z_j = P^{-1}R_j$; $\Phi_{ii} = R_i^T P^{-1}R_i$; $\Phi_{jj} = R_j^T P^{-1}R_j$; $\Phi_{ij} = R_i^T P^{-1}R_j$; $\Phi_{ji} = R_j^T P^{-1}R_i$, тогда из первого уравнения системы (20) находим

$$Q_{im} = 2^{-1}(Z_i \eta_{im} - Z_j \psi_{im}). \quad (21)$$

Умножая левую и правую части формулы (21) слева на матрицу R_j^T и учитывая условие инвариантности оценивания (17), получаем

$$\psi_{im} = \Phi_{jj}^{-1} \Phi_{ji} \eta_{im}. \quad (22)$$

Аналогично, умножая (21) слева на матрицу R_i^T и учитывая условие несмещенности оценивания (16), имеем

$$\eta_{im} = 2\Phi_{ii}^{-1}(E_{im} + 2^{-1}\Phi_{ij}\psi_{im}). \quad (23)$$

Разрешая уравнения (22) и (23) относительно ψ_{im}, η_{im} получим выражения для определения множителей Лагранжа в явном виде, что дает возможность произвести проверку выполнения условий (19). В случае, если эти условия не выполняются, необходимо сформировать новый вектор функций принадлежности компонент вектора ΔH векторам ΔH^i ($i = 1, 2$).

Затем из (21), (22), (23) получим выражение для Q_{im} в виде

$$Q_{im} = (Z_i - Z_j \Phi_{jj}^{-1} \Phi_{ji})(E_{M_i \times M_i} - \Phi_{ii}^{-1} \Phi_{ij} \Phi_{jj}^{-1} \Phi_{ji})^{-1} \Phi_{ii}^{-1} E_{im} \quad (24)$$

или, преобразуя формулу (24), используя обозначения $Z_i - Z_j \Phi_{jj}^{-1} \Phi_{ji} = F_{jj} Z_i$; $(E_{M_i \times M_i} - \Phi_{ii}^{-1} \Phi_{ij} \Phi_{jj}^{-1} \Phi_{ji})^{-1} \Phi_{ii}^{-1} = (R_i^T F_{jj} Z_i)^{-1}$; $F_{jj} = (E_{N \times N} - Z_j \Phi_{jj}^{-1} R_j^T)$,

$$Q_{im} = F_{jj} Z_i (R_i^T F_{jj} Z_i)^{-1} E_{im}. \quad (25)$$

Для искомых оптимальных матриц Q_i , учитывая (25), имеем

$$Q_i = [F_{jj} Z_i (R_i^T F_{jj} Z_i)^{-1}]_{M_i \times N}, i \neq j, i, j = 1, 2. \quad (26)$$

Окончательные выражения для вычисления компонент вектора приращений параметров $\Delta H^i, i = 1, 2$

$$[\Delta H^i]_{M_i \times 1} = [F_{jj} Z_i (R_i^T F_{jj} Z_i)^{-1}]_{M_i \times N} [\Delta]_{N \times 1}. \quad (27)$$

Полученное выражение для определения вектора параметров (27) позволяет выделить доминирующие компоненты вектора H при его идентификации. Анализ полученных выражений (26), (27) показывает, что, применяя предложенный подход декомпозиции вектора параметров, при выполнении вычислений необходимо производить обращение матриц меньшей размерности в отличие от классического подхода, где происходит сведение к системе нормальных уравнений и выполняется обращение матриц размера $M \times M$. При больших размерах матриц и их плохой обусловленности предлагаемый подход является более эффективным в вычислительном плане.

Результаты вычислительного эксперимента

Предложенный подход был применен для восстановления теплофизических $\alpha(T)$, $\lambda_T(T)$, $C(T)$ и физических $E(T)$ характеристик деформируемой тонкостенной системы из решения обратной задачи термоупругости.

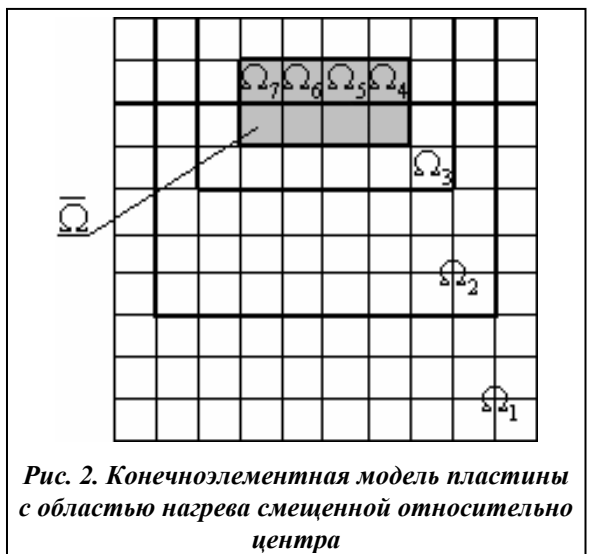
В качестве объекта исследования рассматривалась пластина толщины $h = 0,2$ м, изготовленная из стали 65С2ВА. Для описания материала использовались таблично представленные зависимости значений физических и теплофизических характеристик от температуры [8], для выполнения идентификации эти зависимости аппроксимированы полиномами

$$\begin{aligned}
 E(T) &= 211,2091 - 0,0301 \cdot T - 0,0001 \cdot T^2 \text{ (ГПа)}, \\
 \lambda_T(T) &= 26,7264 + 0,0052 \cdot T \left(\frac{\text{Вт}}{\text{м} \cdot \text{К}} \right), \\
 \alpha(T) &= 12,1335 + 0,0034 \cdot T \left(10^{-6} \cdot \frac{1}{\text{К}} \right), \\
 C(T) &= 484,5748 + 0,0326 \cdot T + 0,0003 \cdot T^2 \left(\frac{\text{Дж}}{\text{кг} \cdot \text{К}} \right).
 \end{aligned}
 \tag{28}$$

Для формирования полей заданных перемещений $u_3^*(X_n)$ и температур $T^*(X_n)$ использовались решения прямых задач термоупругости при заданных в виде (28) значениях искомых параметров.

Пластина испытывает неоднородный нагрев, на поверхности $x_3 = h$ задан тепловой поток q , действующий на некоторую ограниченную область $\bar{\Omega} : \lambda_T(T) \frac{\partial T(\bar{\Omega})}{\partial x_3} \Big|_{x_3=h} = q$; по-

верхность $x_3 = 0$ теплоизолирована. Рассматривались варианты нагрева пластины, когда тепловой поток воздействует на область в центре пластины (рис. 1) и область, расположенную ближе к верхнему краю пластины (рис. 2).



Аппроксимация неизвестных характеристик материала выполнялась на сетке так, что компонентами вектора искомых параметров обратной задачи являются значения параметров в зафиксированных областях Ω_p (области Ω_p обозначены на рис. 1, рис. 2), а следовательно, вектор параметров может быть представлен в виде $H = \{E_1, \alpha_1, \lambda_{T_1}, C_1, \dots, E_p, \alpha_p, \lambda_{T_p}, C_p\}$, $p = 1, 2, \dots, P$. Для каждой выделенной области можно вычислить значение температуры T_p из решения задачи теплопроводности.

Далее проводилась идентификация вектора неизвестных параметров. В качестве начального приближения были выбраны постоянные значения теплофизических характеристик: $E = 210$ ГПа; $\lambda_T = 27 \frac{\text{Вт}}{\text{м} \cdot \text{К}}$; $C = 475 \frac{\text{Дж}}{\text{кг} \cdot \text{К}}$; $\alpha = 11,7 \cdot 10^{-6} \frac{1}{\text{К}}$.

В табл. 1 представлены результаты выполнения процедуры декомпозиции, на первом шаге итерационного процесса разделение вектора параметров осуществлялось произвольно, далее – в соответствии с выполнением условия (19).

Таблица 1. Процедура декомпозиции вектора параметров на итерациях

Результат 1-й итерации				Результат 2-й итерации				Результат 7-й итерации			
вектор H^1	u^1	вектор H^2	u^2	вектор H^1	u^1	вектор H^2	u^2	вектор H^1	u^1	вектор H^2	u^2
E_1	0	C_4	1	E_2	0	E_1	1	E_3	1	E_1	1
α_1	0	λ_{T4}	0	λ_{T2}	1	α_1	1	α_3	1	α_1	1
C_1	0	E_5	0	E_3	1	C_1	1	C_3	1	C_1	1
λ_{T1}	0	α_5	0	α_3	1	λ_{T1}	1	λ_{T3}	1	λ_{T1}	1
E_2	1	C_5	1	C_3	1	α_2	1	E_4	1	E_2	1
α_2	0	λ_{T5}	0	λ_{T3}	1	C_2	1	α_4	1	α_2	1
C_2	0	E_6	1	E_4	1	C_5	0	C_4	1	C_2	1
λ_{T2}	1	α_6	0	α_4	0	E_6	0	λ_{T4}	1	λ_{T2}	1
E_3	1	C_6	0	λ_{T4}	0	C_4	0	E_5	1	–	–
α_3	1	λ_{T6}	0	E_5	1	–	–	α_5	1	–	–
C_3	1	E_7	0	α_5	1	–	–	C_4	1	–	–
λ_{T3}	1	α_7	0	λ_{T5}	1	–	–	λ_{T5}	1	–	–
E_4	1	C_7	0	α_6	1	–	–	E_6	1	–	–
α_4	1	λ_{T7}	0	C_6	1	–	–	α_6	1	–	–
–		–		λ_{T6}	1	–	–	C_6	1	–	–
–		–		E_7	1	–	–	λ_{T6}	1	–	–
–		–		α_7	1	–	–	E_7	1	–	–
–		–		C_7	1	–	–	α_7	1	–	–
–		–		λ_{T7}	1	–	–	C_7	1	–	–
–		–				–	–	λ_{T7}	1	–	–

После выполнения процедуры идентификации были получены значения компонент вектора неизвестных параметров, которые представлены в табл. 2. Анализируя полученные результаты, видим, что в вектор H^2 помещены параметры, значения которых практически совпадают с постоянными характеристикам материала, определенными для ненагретого тела.

Аналогичные результаты получены для случая, когда нагреваемая область была расположена ближе к краю пластины (рис. 2), здесь процесс декомпозиции был выполнен за 11 итераций.

Таблица 2. Результат идентификации векторов параметров H^1 и H^2

Вектор H^1	u^1	Значение температуры в области Ω_p , К	Восстановленное значение параметра	Вектор H^2	u^2	Значение температуры в области Ω_p , К	Восстановленное значение параметра
E_3	1	410	198,1827	E_1	1	293	214,9684
α_3	1	410	13,1371	α_1	1	293	12,51638
C_3	1	410	544,8348	C_1	1	293	520,0917
λ_{T3}	1	410	28,7941	λ_{T1}	1	293	27,9381
E_4	1	550	172,5564	E_2	1	320	214,4121
α_4	1	550	13,7304	α_2	1	320	13,0357
C_4	1	550	577,1328	C_2	1	320	520,4381
λ_{T4}	1	550	29,1924	λ_{T2}	1	320	28,0083
E_5	1	810	171,2324	–	–	–	–
α_4	1	810	14,4811	–	–	–	–
C_5	1	810	685,7409	–	–	–	–
λ_{T5}	1	810	30,5931	–	–	–	–
E_6	1	810	109,8971	–	–	–	–
α_5	1	810	14,4906	–	–	–	–
C_6	1	810	684,6951	–	–	–	–
λ_{T6}	1	810	30,5380	–	–	–	–
E_7	1	550	108,1422	–	–	–	–
α_6	1	550	13,7074	–	–	–	–
C_7	1	550	576,4981	–	–	–	–
λ_{T7}	1	550	29,3046	–	–	–	–

Далее предложенный подход был применен для идентификации теплофизических $\alpha(T)$, $\lambda_T(T)$, $C(T)$ и физических $E(T)$ характеристик этой же пластины с использованием общепринятой методикой аппроксимации неизвестных функций, описанной в монографии [9]. Для выполнения процедуры идентификации все неизвестные функции задачи были представлены полиномами 2-й степени:

$$\varphi(T) = a \cdot T^2 + b \cdot T + c,$$

а вектор параметров составлен из полиномиальных коэффициентов: $H = \{a_E; b_E; c_E; a_C; b_C; c_C; a_{\lambda_T}; b_{\lambda_T}; c_{\lambda_T}; a_\alpha; b_\alpha; c_\alpha\}$. В качестве начального приближения были выбраны постоянные значения теплофизических характеристик. Результат декомпозиции вектора искомых параметров представлен в табл. 3.

Анализируя полученные результаты, видим, что в вектор H^2 помещены параметры, которые не присутствуют в аппроксимации зависимостей характеристик материала от температуры [8]. После выполнения процедуры идентификации были получены компоненты вектора параметров (коэффициенты полиномов), значения которых представлены в табл. 4.

Таблица 3. Процедура декомпозиции вектора параметров, содержащего коэффициенты полиномиальной аппроксимации неизвестных функций, на итерациях

Результат 1-й итерации				Результат 2-й итерации				Результат 5-й итерации			
вектор H^1	u^1	вектор H^2	u^2	вектор H^1	u^1	вектор H^2	u^2	вектор H^1	u^1	вектор H^2	u^2
c_C	1	a_E	0	c_C	1	b_E	0	a_E	1	a_{λ_T}	1
c_{λ_T}	1	a_C	0	c_{λ_T}	1	b_{λ_T}	0	a_C	1	a_α	1
c_α	1	b_E	1	c_α	1	a_{λ_T}	1	b_E	1	–	–
–	–	b_C	0	a_E	1	a_α	1	b_C	1	–	–
–	–	b_{λ_T}	1	a_C	0	–	–	b_{λ_T}	1	–	–
–	–	b_α	0	b_C	1	–	–	B_α	1	–	–
–	–	a_{λ_T}	1	b_α	1	–	–	c_C	1	–	–
–	–	a_α	1	–	–	–	–	c_{λ_T}	1	–	–
–	–	–	–	–	–	–	–	c_α	1	–	–
–	–	–	–	–	–	–	–	c_E	1	–	–

Таблица 4. Результат идентификации векторов параметров H^1 и H^2 , содержащих коэффициенты полиномов

Вектор H^1	u^1	Действительное значение коэффициента	Восстановленное значение коэффициента	Вектор H^2	U^2	Действительное значение коэффициента	Восстановленное значение коэффициента
a_E	1	–0,0001	–0,000168	a_{λ_T}	1	0	0,000000063
a_E	1	0,0003	0,0003368	a_α	1	0	0,000000081
b_E	1	–0,0301	–0,02418	–	–	–	–
b_E	1	0,0326	0,0289590	–	–	–	–
b_{λ_T}	1	0,0052	0,0052676	–	–	–	–
b_α	1	0,0034	0,0041830	–	–	–	–
c_C	1	484,57	469,15212	–	–	–	–
c_{λ_T}	1	26,72	26,92466	–	–	–	–
c_α	1	12,13	11,783	–	–	–	–
c_E	1	238,2091	241,9544	–	–	–	–

Результаты идентификации характеристик материала в зависимости от температуры для разных способов параметризации неизвестных функций представлены на рис. 3–6 (для случая идентификации с использованием аппроксимации по областям Ω_p зависимости были построены с использованием интерполяционных полиномов).

Для апробации предложенного подхода проводилось сравнение результатов с известными решениями. Рассматривалась задача идентификации теплофизических характеристик $\lambda_T(T)$, $C(T)$ стальной пластины из решения задачи обратной задачи теплопроводности, представленная в монографии [9]. На поверхностях $x_3 = 0$ и $x_3 = h$ сформулированы граничные условия 2-го и 3-го рода

$$\left. \frac{\partial T(x_3, t)}{\partial x_3} \right|_{x_3=0} = 0, \quad \lambda_T(T) \left. \frac{\partial T}{\partial x_3} \right|_{x_3=h} = \alpha(T - T_c), \quad \text{где } \alpha = 11,7 \cdot 10^{-6} \frac{1}{\text{К}}, \quad T_c = 1673 \text{ К}.$$

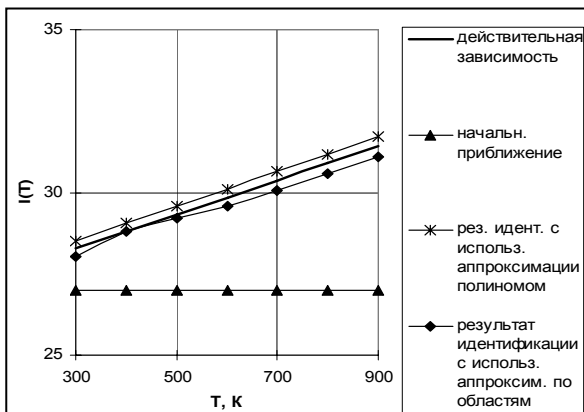


Рис. 3. Зависимость коэффициента теплопроводности от температуры

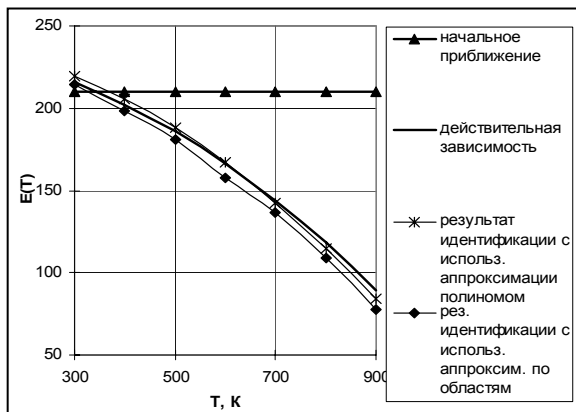


Рис. 4. Зависимость модуля упругости от температуры

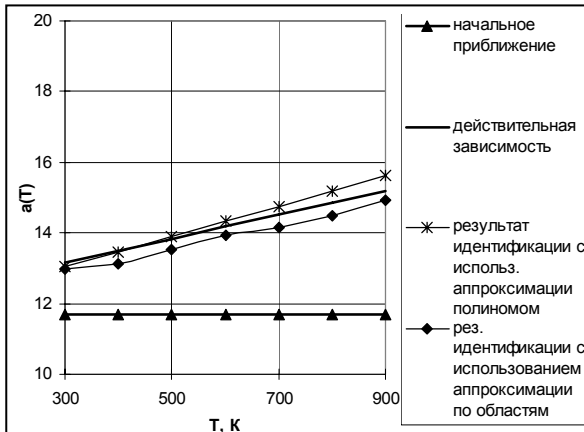


Рис. 5. Зависимость коэффициента линейного расширения от температуры

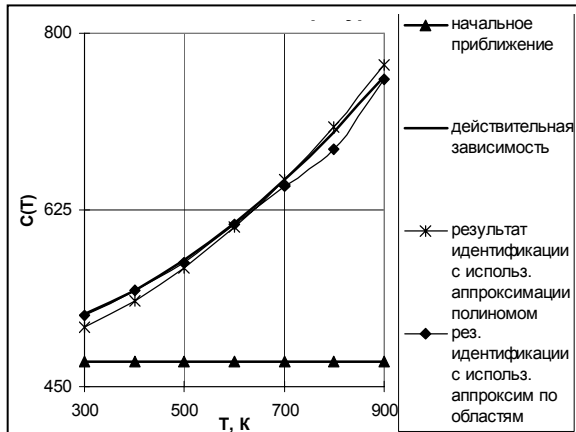


Рис. 6. Зависимость удельной теплоемкости от температуры

Теплофизические характеристики $\lambda_T(T)$, $C(T)$ заданы в виде полиномов вида $a + bT$. Действительные значения коэффициентов $a_C = 1,5 \cdot 10^6$; $b_C = 8 \cdot 10^3$; $a_{\lambda_T} = 45$; $b_{\lambda_T} = 0,02$ использовались при решении прямых задач теплопроводности и термоупругости и получения поля температур $T^*(X_i)$ и поля перемещений $u_1^*(X_i)$ соответственно. В дальнейшем эти значения использовались при построении функционала-невязки.

Компонентами вектора восстанавливаемых параметров выбраны коэффициенты полиномов $\{a_C; b_C; a_{\lambda_T}; b_{\lambda_T}\}$, которые впоследствии определялись в результате выполнения итерационной процедуры декомпозиции. В качестве начального приближения выбраны постоянные значения теплофизических характеристик $\lambda_T = 45 \frac{\text{Вт}}{\text{м} \cdot \text{К}}$; $C = 3 \cdot 10^6 \frac{\text{Дж}}{\text{м}^3 \cdot \text{К}}$, вектор параметров представлялся в виде $H^0 = \{3 \cdot 10^6; 0; 45; 0\}$.

Декомпозиция вектора параметров на первом шаге выполнялась произвольно, в табл. 5 представлены результаты выполнения итерационной процедуры декомпозиции и процедуры идентификации вектора параметров из решения обратной задачи теплопроводности.

Аналогичные результаты были получены, когда значения этих коэффициентов восстанавливались из решения обратной задачи термоупругости и для формирования функционала-невязки выбирались значения перемещений. На рис. 7 и 8 представлены результаты восстановления теплофизических характеристик $\lambda_T(T)$, $C(T)$, полученные из решения обратных задач теплопроводности и соответствующей задачи термоупругости.

Таблица 5. Процедура декомпозиции вектора параметров на итерациях и результат идентификации

Результат выполнения процедуры декомпозиции для идентификации значений коэффициентов полиномов								Результат процедуры идентификации вектора параметров для выполненной декомпозиции			
Результат 1-й итерации				Результат 3-й итерации				Результат декомпозиции и последующей идентификации для вектора H^1			
H^1	u^1	H^2	u^2	H^1	u^1	H^2	u^2	H^1	u^1	Действительный вектор H^1	Восстановленный вектор H^1
a_C	0	a_{λ_T}	0	b_C	1	b_{λ_T}	1	a_C	1	$1,5 \cdot 10^6$	$1,434 \cdot 10^6$
b_C	1	b_{λ_T}	1	a_{λ_T}	1	a_C	0	b_C	1	$8 \cdot 10^3$	$7,648 \cdot 10^3$
–	–	–	–	–	–	–	–	a_{λ_T}	1	45	45,387
–	–	–	–	–	–	–	–	b_{λ_T}	1	0,02	0,01726

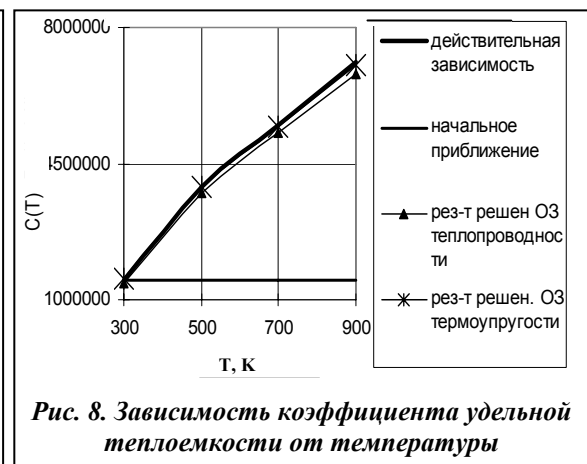
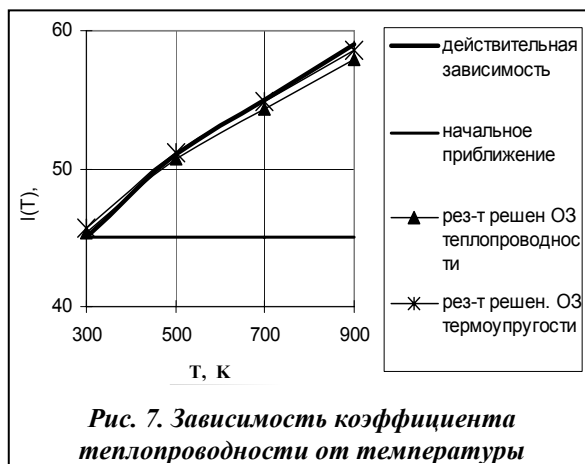
Выводы

На основании проведенных исследований можно сделать следующие выводы: 1) применение декомпозиционного подхода позволяет восстановить вектор параметров системы с использованием различных способов аппроксимации; 2) разработанный метод и алгоритм идентификации параметров, характеризующих теплофизические и механические свойства тонкостенных систем, дает возможность определять указанные параметры в условиях их существенной неоднородности; 3) предложенный подход декомпозиции с выбором наиболее информативных компонент вектора параметров позволяет понижать порядок разрешающих соотношений; 4) сравнительный анализ полученных с использованием различных аппроксимаций численных результатов восстановления вектора параметров с действительными значениями параметров реальной системы свидетельствует об их достоверности.

В перспективе предложенный подход может быть применен для идентификации характеристик материала из решения обратной задачи термопластичности.

Литература

1. Измерение импульсным методом теплофизических характеристик материалов с открытой поверхности / Л. Д. Загребин, В. А. Сипайлов, М. Г. Камашев, Е. А. Иванова // Тез докл. 8-й всесоюз. конф. по теплофизическим свойствам веществ. – 1988. – Ч. 2. – С. 85.
2. Талуц С. Г. Измерение температуропроводности и теплоемкости динамическим методом плоских температурных волн использованием электронного нагрева / С. Г. Талуц, Б. В. Власов, В. Ф. Полев // Тез докл. 8-й всесоюз. конф. по теплофизическим свойствам веществ. – 1988. – Ч. 2. – С. 114–115.
3. Мацевитый Ю. М. Обратные задачи теплопроводности: В 2-х т. т. 1 Методология. т. 2 Приложения – Киев: Наук. думка, 2003. – 341 с., 392 с.



4. *Сергиенко И. В.* Системный анализ многокомпонентных распределенных систем / И. В. Сергиенко, В. С. Дейнека. – Киев: Наук. думка, 2009. – 639 с.
5. *Тихонов А. Н.* Математическое моделирование технологических процессов и метод обратных задач в машиностроении / А. Н. Тихонов, В. Д. Кальнер, В. Б. Гласко. – М.: Машиностроение, 1990. – 263 с.
6. *Ватульян А. О.* Обратные задачи в механике деформируемого твердого тела / А. О. Ватульян. – М.: Физматлит, 2007. – 222 с.
7. *Булычева Е. Ю.* Декомпозиционный подход к решению плохо обусловленных задач параметрической идентификации / Е. Ю. Булычева, Ю. Г. Булычев, И. В. Бурлай // Изв. РАН. Теория и системы управления. – 2004. – № 5. – С. 28–31.
8. *Безухов Н. И.* Расчеты на прочность, устойчивость и колебания в условиях высоких температур / Н. И. Безухов, В. Л. Бажанов, И. И. Гольденблат. – М.: Машиностроение, 1965. – 567 с.
9. *Мацевитый Ю. М.* Идентификация теплофизических свойств твердых тел / Ю. М. Мацевитый, С. Ф. Лушпенко. – Киев: Наук. думка, 1990. – 213 с.

Поступила в редакцию
11.01.11